

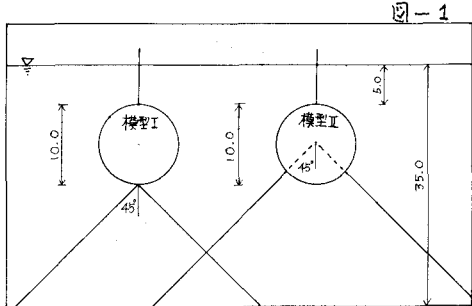
東洋大学 工学部 正員 本間 仁
 東洋大学 工学部 正員 萩原国宏
 東洋大学 大学院 学生員○江森坦也

1. まえがき

2点プレテンションアンカーした水中球形ブイのアンカーの方法を2種類変え、模型実験を行い、波と運動の関係を時間経過とともに測定し、波力の慣性力と抗力の位相のずれを利用して、各々の最大となる時の運動から質量係数 C_M 、抗力係数 C_D を求めてみた。

2. 模型実験

球体は図-1のように設置し、アンカーの方法は、球の底部よりワイヤーの2つもの（模型I）、球の中心よりワイヤーの2つもの（模型II）である。模型の直径は10cm²、水深35cmの中で、球の上面が水面下5cmになるように設置した。使用した波の周期は0.44～1.60secで5種類、各波について波高3～5種類である。物体の運動は8ミリ撮影し、球の表面及び、球の上に立てた棒につけたマーカーを、デジグラマーで8ミリフィルムの各コマ毎に読みとり、マーカーの座標を求め、この座標より、模型Iでは球の底部での回転運動、模型IIでは球の中心での回転運動を求め、同時に波高もフィルムより読み取った。又フィルムのコマ送り速度よりこれらとの値と時間経過の関係を求められた。



結果の一例をグラフ-1～グラフ-4に示す。これは、波の周期0.56sec, 1.05secの場合で、どちらの場合も、模型IIの回転が複雑な動きをしている。

3. 質量係数 C_M 、抗力係数 C_D の計算

運動方程式を各々、回転中心においててと次のようになる。

$$\text{模型 I } (I + I') \ddot{\theta} + R_0 \dot{\theta} + (wV \cdot r - W \cdot r_g) \theta = F(t) \quad (1)$$

$$\text{模型 II } (I + I') \ddot{\theta} + R_0 \dot{\theta} + (2T \cdot r^2/l + W \cdot r_g) \theta = F(t) \quad (2)$$

ここで V 、 W ：模型の体積及び重量、 r_g ：回転中心から重心までの距離、 r ：模型の半径、 l ：ワイヤーの長さ、 T ：静止している時アンカーに作用している張力。

波による外力 $F(t)$ は

$$dF = dF_M + dF_D = C_M g \frac{du}{dt} dV + C_D g u |u| dA \quad (3)$$

波形を正弦波とした時

$$u = \frac{H}{2} R_C \frac{\cosh k(R+z)}{\sinh kR} \sin k(x-ct), \quad \frac{du}{dt} = -\frac{H}{2} R^2 C^2 \frac{\cosh k(R+z)}{\sinh kR} \cos k(x-ct)$$

u と $\frac{du}{dt}$ は位相が 90° 異なる。したがって(3)式の質量力 F_M と抗力 F_D は位相が 90° である。この時の波力は質量力のみとなる。又 90° 、 270° の位相では $\frac{du}{dt}$ が 0 であるから質量力が 0 となり、この時の波力は抗力のみとなる。この関係より、グラフ-1～グラフ-4において、波峰での運動は、抗力のみでの運動と考え、その時の回転を、(1)、(2)式の解に代入して C_D を求めた。同様に C_M も求めた。

4. 結果及び考察

C_M 、 C_D の結果を球の直径 D と波長 L との比でグラフにしたもののがグラフ-5、6である。 C_M の値については、

I, IIとも波長が短くなるほど C_D の値は小さくなる傾向を示し、円柱の場合の傾向によく似ている。一般にいわれている $C_D = 1.5$ に近い値である。 C_D については C_D と逆の傾向を示している。一般に $C_D = 0.5$ であるが、これとは相当異った結果となった。グラフ 1 や 2 や 3 などに、抗力のみが作用している時の運動は非常に小さく、これを用いて得た C_D の値も小さくなつた。現在、水平方向、鉛直方向の運動についても同様のことを行っていきたい。

参考文献

- 1) 岩垣雄一, 波浪に対する構造物の動的応答, 1971 工学大綱...
- 2) 堀川清司, 海岸工学, 東大出版

